

พลักซ์ความร้อนที่ผิวน้ำทะเลในรอบปีบริเวณอ่าวไทย
Annual Surface Heat Flux in the Gulf of Thailand

พนิภก เลือดนักรบ* และอนุกูล บูรณะประทีปรัตน์

ภาควิชาการวิชาศาสตร์ คณะวิทยาศาสตร์ มหาวิทยาลัยบูรพา

Pontipa Luadnakrob* and Anukul Buranapratheprat

Department of Aquatic Science, Faculty of Science, Burapha University.

บทคัดย่อ

ได้ทำการศึกษาพลักซ์ความร้อนผิวน้ำทะเลบริเวณอ่าวไทยในแต่ละเดือนในรอบปีโดยใช้ข้อมูลพลักซ์ความร้อนเฉลี่ยรายเดือน 4 ชนิด คือ ความร้อนจากการแพร่รังสีจากดวงอาทิตย์ ความร้อนจากการนำและ การพาความร้อน ความร้อนจากการแพร่รังสีกลับของน้ำทะเล และความร้อนจากการเปลี่ยนสถานะของน้ำ พบร่วมกันที่ได้รับความร้อนจากพลักซ์ความร้อนจากการแพร่รังสีของดวงอาทิตย์มีค่าสูงสุด ในเดือนมีนาคม (256.85 W/m^2) และมีค่าต่ำสุดในเดือนตุลาคม (174.4 W/m^2) พลักซ์ความร้อนจากการแพร่รังสีกลับของน้ำทะเลทำให้เกิด การสูญเสียความร้อนจากผิวน้ำทะเลเต็มสุดในเดือนสิงหาคม (-32.02 W/m^2) และสูงสุดในเดือนมีนาคม (-50.43 W/m^2) พลักซ์ความร้อนจากการนำและการพาความร้อนทำให้เกิดการสูญเสียความร้อนต่ำสุดในเดือนกุมภาพันธ์ (-10.83 W/m^2) และสูงสุดในเดือนกันยายน (-20.08 W/m^2) พลักซ์ความร้อนจากการเปลี่ยนสถานะของน้ำทำให้มีการสูญเสียความร้อนต่ำสุดในเดือนตุลาคม (-65.8 W/m^2) และสูงสุดในเดือนธันวาคม (-113.02 W/m^2) ค่าพลักซ์ความร้อนรวมมีทิศทางจากอากาศลงสู่ทะเลลดลงเป็นไปโดยมีค่าสูงสุดในเดือนเมษายน (110.89 W/m^2) และต่ำสุดในเดือนธันวาคม (5.43 W/m^2) เฉลี่ยตลอดทั้งปีมีค่าเท่ากับ 60.28 W/m^2 โดยอิทธิพลหลักมาจากการแพร่รังสีจากดวงอาทิตย์และการเปลี่ยนสถานะของน้ำ การแพร่รังสีจะเพิ่มที่ของพลักซ์ความร้อนรวมที่ผิวน้ำทะเลในช่วงเวลาต่างๆ แสดงให้เห็นถึงความสำคัญของกระบวนการระบายความร้อนที่ผิวน้ำโดยลม โดยพบว่าเพิ่มที่บริเวณท้ายลมมีแนวโน้มของการสูญเสียความร้อนมากกว่าเพิ่มที่บริเวณต้นลมเสมอ

คำสำคัญ : พลักซ์ความร้อนผิวน้ำทะเล อ่าวไทย

*Corresponding author. E-mail: pontipaluad@gmail.com

Abstract

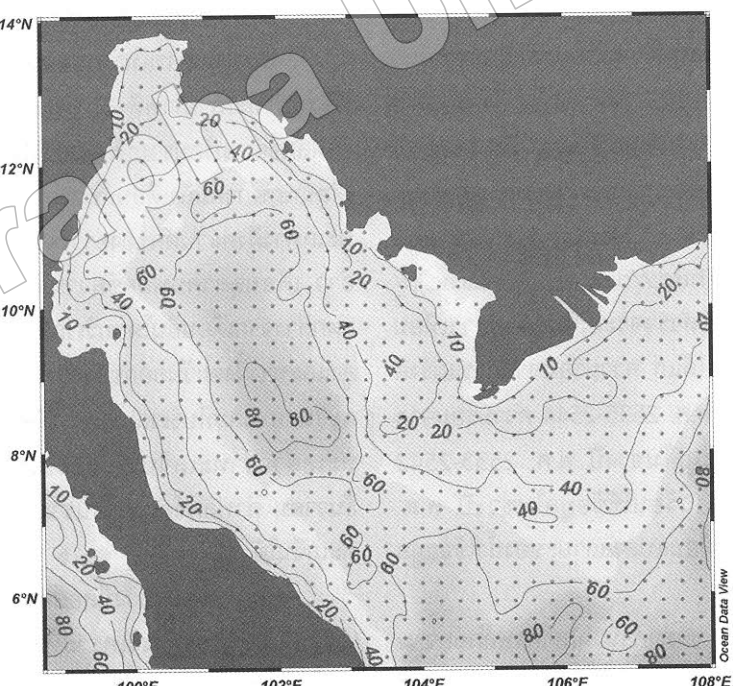
Surface heat fluxes exchanged between air and sea in the Gulf of Thailand (GoT) were investigated. Four major heat types including the Sun or short wave radiation (SWR), long wave (or back) radiation (LWR), sensible heat flux (SHF) and latent heat flux (LHF) were taken into consideration. The highest (256.85 W/m^2) and the lowest (174.4 W/m^2) heat gains of SWR to the sea surface occurred in March and October, respectively. Heat losses from the sea surface by LWR were largest in March (-50.43 W/m^2) and lowest in August (-32.02 W/m^2). SHF made maximum (-20.08 W/m^2) and minimum (-10.83 W/m^2) heat losses in September and February, respectively. LHF also moved heat via evaporation from the sea surface - the largest (-113.02 W/m^2) in December and the lowest in October (-65.8 W/m^2). Located in the tropical zone, GoT total heat fluxes directed from the air to the sea for about 60.28 W/m^2 per year. The maximum (110.89 W/m^2) and the minimum (5.43 W/m^2) total heat gains in April and December, respectively, were mainly controlled by SWR and LHF. Seasonal variations in spatial distribution of total surface heat fluxes suggest that ventilating process by wind play a key role to heat loss from the sea surface. Larger heat loss always occurred leeward as a result.

Keywords : Surface heat flux, Gulf of Thailand

บทนำ

อ่าวไทยตั้งอยู่ริมหัวแม่น้ำลำตูจุด 6 องศาเหนือถึง 13.5 องศาเหนือและลองจิจูด 99 องศาตะวันออกถึง 105 องศาตะวันออก (ภาพที่ 1) เป็นเขตทะเลที่ติดต่อกับทะเลจีนใต้ โดยมีแผ่นดินล้อมรอบ 3 ด้านคือ ด้านเหนือ ด้านตะวันออก และด้านตะวันตกของอ่าวและติดต่อกับทะเลเจี้ยนได้ทางด้านใต้ของอ่าว ปากอ่าวนับจากร่องน้ำโก-ลก จังหวัดนราธิวาสถึงแหลมคามาบานคาบสมุทรเวียดนาม มีความกว้างประมาณ 380 กิโลเมตร ส่วนที่กว้างที่สุดของอ่าวมีระยะประมาณ 540 กิโลเมตร อ่าวไทยยาวประมาณ 810 กิโลเมตร มีลักษณะท้องทะเลคล้ายแอ่งกระทะเล ความลึกที่ก้นอ่าวประมาณ 80 เมตร มีความลึกเฉลี่ยอยู่ที่ 45 เมตร ซึ่งจัดเป็นบริเวณน้ำตื้น มีปริมาณน้ำท่า่ใหญ่กว่ามากจากแม่น้ำสำคัญหลายสาย เช่น แม่น้ำบางปะกง แม่น้ำเจ้าพระยา แม่น้ำท่าเจี้ยน แม่น้ำแม่กลอง และแม่น้ำตาปี เป็นต้น ได้รับอิทธิพลของลมมรสุมตะวันออกเฉียงเหนือในช่วงเดือนพฤษภาคมถึงเดือนกุมภาพันธ์ และลมมรสุมตะวันตกเฉียงใต้ในช่วงเดือนพฤษภาคมถึงเดือนกันยายน ซึ่งเดือนตุลาคมเป็นช่วงเปลี่ยนฤดูลมมรสุมตะวันตกเฉียงใต้เป็นมรสุมตะวันออกเฉียงเหนือ และเดือนมีนาคมถึงเมษายน เป็นช่วงเปลี่ยนมรสุมตะวันออกเฉียงเหนือเป็นมรสุมตะวันตกเฉียงใต้ (ปราโมทย์ โศจิคุกร และคณะ, 2546; Robinson, 1974)

ผลักดันความร้อนที่ผิวน้ำทะเลทำให้เกิดการเปลี่ยนแปลงอุณหภูมิผิวน้ำตามสถานที่และเวลา ระยะห่างระหว่างโลกกับดวงอาทิตย์มีผลต่ออัตราการได้รับพลังงานคลื่นสั่น ขึ้นอยู่กับ 4 องค์ประกอบที่สำคัญคือ ความร้อนจากการแพร่รังสีคลื่นสั่นของดวงอาทิตย์ (Short Wave Radiation-SWR) ความร้อนจากการแพร่รังสีลับของน้ำทะเล (Long Wave Radiation-LWR) ความร้อนจากการนำและการพา (Sensible Heat Flux-SHF) และความร้อนจากการเปลี่ยนสถานะของน้ำ (Latent Heat Flux-LHF) ความร้อนจากการแพร่รังสีคลื่นสั่นของดวงอาทิตย์มีการเปลี่ยนแปลง ความร้อนตามรอบวัน ฤดูกาลและภูมิภาค อุณหภูมน้ำทะเลในรอบปีเปลี่ยนแปลงน้อยมากทำให้ความร้อนจากการแพร่รังสีลับของน้ำทะเลค่อนข้างคงที่ในรอบปี และปริมาณของเมฆที่ปกคลุมพื้นที่ ซึ่งอัตราของพลังงานคลื่นสั่นจากดวงอาทิตย์ที่ผ่านสู่ผิวน้ำทะเล ได้รับอิทธิพลจากหลายปัจจัยคือความยาวของช่วงเวลากลางวัน ระยะเวลาที่ได้รับความร้อนจากดวงอาทิตย์ซึ่งเปลี่ยนแปลงตามฤดูกาลและพิกัดทางภูมิศาสตร์ ความร้อนจากการแพร่รังสีลับของน้ำทะเล เป็นค่าที่แสดงถึงการสูญเสียพลังงานความร้อนของทะเล การเพิ่มขึ้นของอุณหภูมิที่ผิวน้ำทะเลสูงผลให้รังสีที่ออกจากทะเลเพิ่มสูงขึ้น โดยทั่วไปความร้อนจากการแพร่รังสีลับของน้ำทะเลไม่มีการเปลี่ยนแปลงตามรอบวัน ฤดูกาล หรือสถานที่ เนื่องจาก



ภาพที่ 1 จุดข้อมูลในพื้นที่ศึกษาบริเวณอ่าวไทยและแสดงระดับความลึกของน้ำในพื้นที่ศึกษามีหน่วยเป็นเมตร

เป็นปรากฏการณ์ที่ขึ้นอยู่กับอุณหภูมิสัมบูรณ์ไม่ใช่อุณหภูมิในหน่วยองศาเซลเซียส ความร้อนจากการนำและการพา เป็นการได้รับหรือสูญเสียความร้อนของผิวน้ำทะเล เที่ยงกับความแตกต่างของอุณหภูมิอากาศที่อยู่เหนือน้ำทะเลและอุณหภูมิผิวน้ำทะเลถ้าอุณหภูมิอากาศต่ำกว่าอุณหภูมิผิวน้ำทะเล ความร้อนจะถูกถ่ายเทจากทะเลสู่อากาศ และหากอุณหภูมิของอากาศสูงกว่าอุณหภูมิของน้ำทะเล ความร้อนจะถูกถ่ายเทจากอากาศสู่ทะเล และความร้อนจากการเปลี่ยนสถานะของน้ำ เกิดจากการบวนการกลาญเป็นโซ่เป็นกระบวนการที่ผิวน้ำทะเลสูญเสียความร้อนให้กับอากาศ ทำให้อุณหภูมิที่ผิวน้ำทะเลลดลง (Pickard & Emery, 1990)

งานวิจัยนี้มีความมุ่งหมายที่จะศึกษาฟลักซ์ความร้อนที่ผิวน้ำทะเลบริเวณอ่าวไทยในรอบปีโดยใช้ข้อมูลเฉลี่ยรายเดือนของฟลักซ์ความร้อน 4 ชนิดคือความร้อนจากการแพร่รังสีจากดวงอาทิตย์ ความร้อนจากการแพร่รังสีกลับของน้ำทะเล ความร้อนการนำและการพาความร้อนและความร้อนจากการเปลี่ยนแปลงสถานะของน้ำ ผลจากการศึกษาจะทำให้มีความเข้าใจอิทธิพลของฟลักซ์ความร้อนชนิดต่างๆ ที่มีต่อฟลักซ์ความร้อนรวมที่ผิวน้ำทะเล รวมถึงปัจจัยทางสิ่งแวดล้อมที่ส่งผลกระทบต่อถักชันของการแพร่กระจายของฟลักซ์ความร้อนรวมที่ผิวน้ำทะเลในช่วงเวลาต่างๆ ได้

ข้อมูลและวิธีการวิจัย

ทำการศึกษาฟลักซ์ความร้อนที่ผิวน้ำทะเลบริเวณอ่าวไทยในรอบปีที่พิกัดระหว่างละติจูด 5.125 องศาเหนือ ถึง 13.375 องศาเหนือ และลองจิจูด 99.375 องศาตะวันออก ถึง 107.875 องศาตะวันออก (ภาพที่ 1) โดยใช้ข้อมูลเฉลี่ยรายเดือนของข้อมูลฟลักซ์ความร้อนจาก the School of Marine Science and Technology, Tokai University (<http://dtsv.scc.u-tokai.ac.jp/j-ofuro/>) ซึ่งได้มาจากการสำรวจระยะไกลด้วยดาวเทียม ข้อมูลฟลักซ์ความร้อน 4 แหล่ง ได้แก่ ความร้อนจากการแพร่รังสีจากดวงอาทิตย์ใช้ข้อมูลในช่วงปี พ.ศ. 2535-2544 ความร้อนจากการแพร่รังสีกลับของน้ำทะเลใช้ข้อมูลในช่วงปี พ.ศ. 2533-2542 ความร้อนการนำและการพาความร้อนใช้ข้อมูลในช่วงปี พ.ศ. 2534-2538 ความร้อนจากการเปลี่ยนแปลงสถานะของน้ำใช้ข้อมูลในช่วงปี พ.ศ. 2535-2538

นำข้อมูลความร้อนทั้ง 4 ชุดมาคำนวณหาค่าฟลักซ์ความร้อนรวมที่ผิวน้ำทะเลได้รับในแต่ละเดือน (W/m^2) และแสดงผลการศึกษาในรูปแบบของการเปลี่ยนแปลงหรือการแพร่กระจายเชิงพื้นที่โดยใช้โปรแกรม Ocean Data View Version 3.3.2 ค่าฟลักซ์

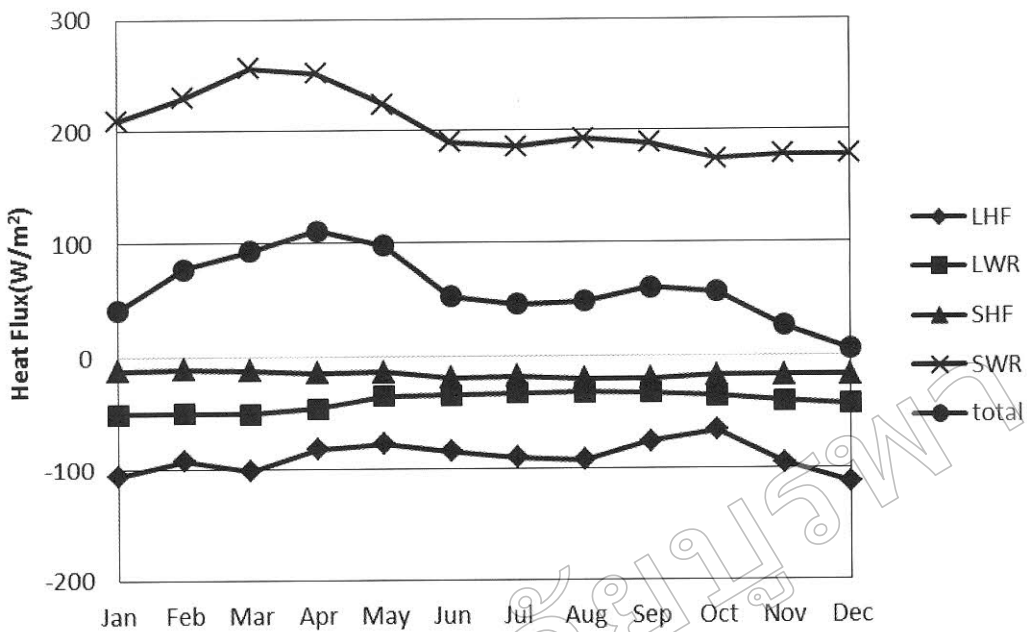
ความร้อนรวมที่ผิวน้ำทะเลจะแสดงด้วยค่าบวกและค่าลบ ซึ่งค่าบวกหมายถึงที่ผิวน้ำทะเลได้รับความร้อนจากบรรยากาศ และค่าลบหมายถึงผิวน้ำทะเลสูญเสียความร้อนสู่บรรยากาศ

ผลการวิจัยและวิจารณ์ผล

ฟลักซ์ความร้อนจากการแพร่รังสีของดวงอาทิตย์มีค่าเพิ่มสูงขึ้นตั้งแต่เดือนมกราคมจนมีค่าสูงสุดในเดือนมีนาคม ($256.85 W/m^2$) แล้วลดลงอย่างรวดเร็วในช่วงเดือนพฤษภาคมถึงเดือนมิถุนายนจนมีค่าต่ำสุดในเดือนตุลาคม ($174.4 W/m^2$) (ภาพที่ 2) ฟลักซ์ความร้อนจากการแพร่รังสีกลับของน้ำทะเลเมื่อแนวโน้มค่อนข้างคงที่โดยพบว่าทำให้เกิดการสูญเสียความร้อนจากผิวน้ำทะเลเต็มที่สุดในเดือนสิงหาคม ($-32.02 W/m^2$) และสูงที่สุดในเดือนมีนาคม ($-50.43 W/m^2$) ฟลักซ์ความร้อนจากการนำและการพาความร้อนทำให้เกิดการสูญเสียความร้อนจากผิวน้ำทะเลเต็มที่สุดในเดือนกุมภาพันธ์ ($-10.83 W/m^2$) และสูงที่สุดในเดือนกันยายน ($-20.08 W/m^2$) ฟลักซ์ความร้อนจากการเปลี่ยนสถานะของน้ำมีการสูญเสียความร้อนจากผิวน้ำทะเลเต็มที่สุดในเดือนตุลาคม ($-65.8 W/m^2$) และสูงที่สุดในเดือนธันวาคม ($-113.02 W/m^2$) และค่าฟลักซ์ความร้อนรวมมีพิษทางจากอากาศสูงลดลงตั้งแต่ปีโดยมีค่าสูงที่สุดในเดือนเมษายน ($110.89 W/m^2$) แล้วลดลงอย่างรวดเร็วในเดือนพฤษภาคมถึงเดือนมิถุนายน โดยค่าต่ำที่สุดพบในเดือนธันวาคม ($5.43 W/m^2$) เฉลี่ยตลอดทั้งปีมีค่าเท่ากับ $60.28 W/m^2$

แนวโน้มการแพร่กระจายเชิงพื้นที่ของฟลักซ์ความร้อนรวมที่ผิวน้ำทะเล (ภาพที่ 3) ช่วงเดือนพฤษภาคมถึงเดือนมีนาคม ค่าฟลักซ์ความร้อนรวมบริเวณอ่าวไทยมีค่าต่ำกว่าทะเลเงินใต้ และในเดือนพฤษภาคมถึงเดือนกันยายนค่าฟลักซ์ความร้อนรวมที่ผิวน้ำทะเลทางฝั่งตะวันตกของอ่าวไทยมีค่าสูงกว่าทางฝั่งตะวันออกของอ่าว เดือนตุลาคมฟลักซ์ความร้อนรวมที่ผิวน้ำทะเลเมื่อลักษณะแตกต่างจากเดือนอื่นโดยบริเวณกลางอ่าวมีค่าฟลักซ์ความร้อนรวมสูงและทางฝั่งตะวันออกของอ่าวมีค่าฟลักซ์ความร้อนสูงกว่าทางฝั่งตะวันตก และที่บริเวณปากอ่าวมีค่าฟลักซ์ความร้อนรวมที่ผิวน้ำทะเลเต็มกว่าทะเลเงินใต้ และในช่วงเดือนพฤษภาคมถึงเดือนธันวาคม ค่าฟลักซ์ความร้อนรวมบริเวณอ่าวไทยเริ่มมีค่าต่ำกว่าในทะเลเงินใต้

ผลการศึกษาครั้งนี้สอดคล้องกับการศึกษาของ Gautam (1999) ซึ่งศึกษาการวิเคราะห์สมดุลความร้อนบริเวณอ่าวไทยโดยใช้ข้อมูลจากดาวเทียม NOAA (National Oceanic and Atmospheric Administration) ในการศึกษาอุณหภูมิที่ผิวน้ำทะเลลงแต่ 1 มกราคม พ.ศ. 2540 ถึง 30 สิงหาคม พ.ศ. 2541

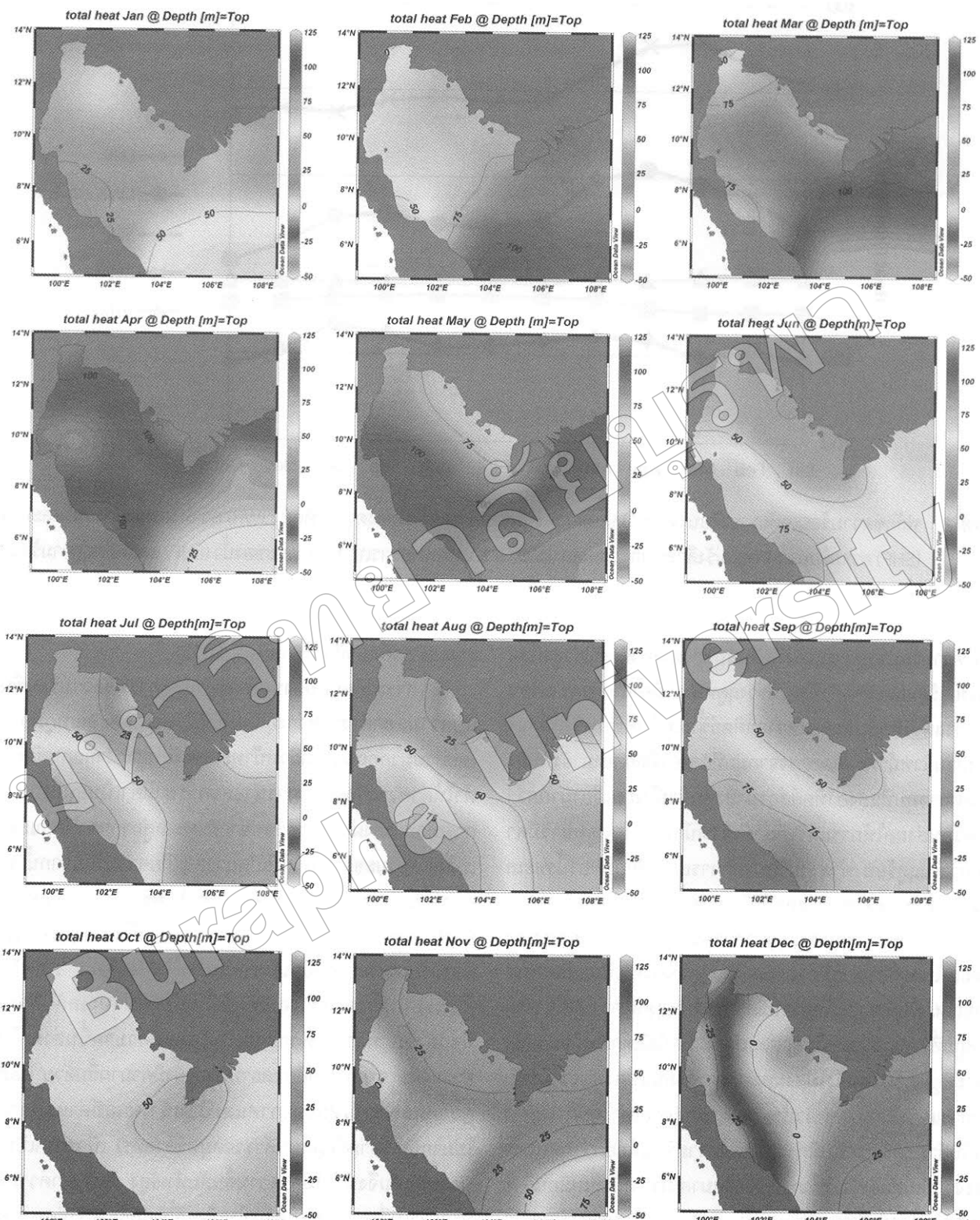


ภาพที่ 2 พลักซ์ความร้อนเฉลี่ยรายเดือน (W/m^2) ของความร้อนจากการแผ่รังสีของดวงอาทิตย์ (SWR) ความร้อนจากการรำคำและการพา (SHF) ความร้อนจากการแผ่รังสีกลับของน้ำหน้าที่ (LWR) ความร้อนจากการเปลี่ยนสถานะของน้ำ (LHF) และพลักซ์ความร้อนรวม (total)

พบว่าความร้อนจากการแผ่รังสีลินส์สันของดวงอาทิตย์มีค่าสูงที่สุด ในช่วงฤดูร้อนและมีค่าต่ำที่สุดในช่วงฤดูหนาว เนื่องจากค่าความร้อนจากการแผ่รังสีลินส์สันของดวงอาทิตย์ขึ้นอยู่กับค่าของรังสีที่ส่องมา�ังผิวน้ำหน้าที่โดยตรงจากมุ่งที่แสงอาทิตย์ส่องมาอย่างพื้นผิวในฤดูหนาวมุ่งที่แสงอาทิตย์ส่องมาอย่างพื้นผิวน้ำในมุมเอียงมากกว่าในฤดูร้อนส่งผลให้การแผ่รังสีมายังผิวน้ำที่ในฤดูหนาวมีค่าน้อยกว่าในฤดูร้อน ค่าความร้อนจากการแผ่รังสีกลับของน้ำที่เล่มีปริมาณสูงช่วงฤดูหนาว และมีปริมาณต่ำที่สุดในช่วงฤดูร้อนหากพิจารณาตามความเป็นจริงแล้วความร้อนจากการแผ่รังสีกลับของน้ำที่เล่ในฤดูร้อนความมีค่ามากกว่าในฤดูหนาวซึ่งเป็นผลโดยตรงจากอุณหภูมิที่ผิวน้ำที่ฤดูร้อนมีค่าสูงกว่าในฤดูหนาว แต่เนื่องจากอุณหภูมิที่ผิวน้ำในอ่าวไทยแต่ละฤดูกาลมีค่าไม่แตกต่างกันมากนัก เพราะอยู่ในเขตตropic ไม่ส่งผลต่อการเปลี่ยนแปลงค่าความร้อนจากการแผ่รังสีกลับจากผิวน้ำที่ตามฤดูกาลเท่าใดนัก ในทางตรงกันข้ามฤดูร้อนกลับมีการสูญเสียความร้อนน้อยกว่าฤดูหนาว เนื่องจากมีเมฆและไอน้ำในบรรยากาศมากซึ่งทำหน้าที่เหมือนกั๊ฟเรือนกระจกกันไม่ให้ความร้อนระบายออกจากผิวน้ำได้สะดวก ต่างจากในฤดูหนาวที่มีเมฆและไอน้ำในบรรยากาศน้อยความร้อนจึงถูกส่งผ่านได้ดีกว่า เป็นเหตุให้ค่าความร้อนจากการแผ่รังสีกลับของน้ำที่เล่มีปริมาณสูงช่วงฤดูหนาวและมีปริมาณต่ำในช่วงฤดูร้อน

ตามผลการศึกษาที่ได้ (Stewart, 2005)

การเปลี่ยนแปลงของการรำคำและการพาความร้อนขึ้นอยู่กับความแตกต่างระหว่างอุณหภูมิที่ผิวน้ำที่เล่และอุณหภูมิอากาศโดยส่วนมากอุณหภูมิที่ผิวน้ำที่เล่จะมีค่าสูงกว่าอุณหภูมิอากาศทำให้ค่าความร้อนจากการรำคำและการพามีค่าเป็นลบซึ่งหมายถึงการเกิดการส่งผ่านความร้อนจากผิวน้ำที่เล่สู่อากาศ ในขณะที่การเปลี่ยนสถานะของน้ำทำให้เกิดการสูญเสียความร้อนจากน้ำที่เล่สูงสุดในเดือนธันวาคม ค่าความร้อนขึ้นสัมพัทธ์ ความเร็วลม และความแตกต่างของอุณหภูมิเป็นปัจจัยสำคัญที่ใช้ในการพิจารณาค่าความร้อนจากการเปลี่ยนสถานะของน้ำ (Gautam, 1999) เมื่อความแตกต่างระหว่างอุณหภูมิที่เหนือผิวน้ำที่เล่กับผิวน้ำมีค่าสูงขึ้น การระเหยกล้ายเป็นไจจะมีค่ามากขึ้นส่งผลให้ค่าความร้อน จากการเปลี่ยนสถานะของน้ำมีค่ามากขึ้นด้วย ในเดือนตุลาคมอุณหภูมิที่ผิวน้ำที่เล่และผิวน้ำที่มีค่าแตกต่างกันไม่มากนัก (จากข้อมูลทุ่นสำรวจสมุทรศาสตร์) เนื่องจากเป็นช่วงปลายฤดูฝนจึงทำให้มีค่าความร้อนสัมพัทธ์สูง ดังนั้นค่าความร้อนจากการเปลี่ยนสถานะของน้ำในเดือนนี้จึงมีขนาดต่ำที่สุด ในทางกลับกันเดือนธันวาคมเป็นเดือนที่อุณหภูมิระหว่างผิวน้ำที่เล่และอากาศมีค่าแตกต่างกันมากที่สุดและเป็นช่วงฤดูหนาวที่อากาศแห้ง ความร้อนขึ้นสัมพัทธ์ในอากาศมีค่าต่ำ การสูญเสีย



ภาพที่ 3 พลังชีวภาพรวมที่ผิวน้ำทั่วบริเวณอ่าวไทยในรอบปี (W/m^2)

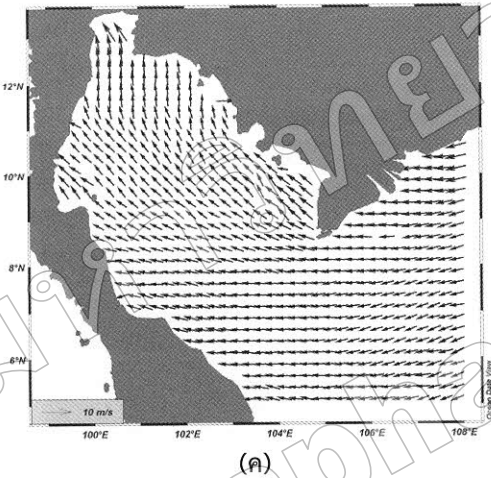
ความร้อน จากการเปลี่ยนสถานะจีโนมขนาดหรือปริมาณสูงที่สุด

ค่าพลักซ์ความร้อนรวมที่ผิวน้ำทะเลที่ได้จะสังเกตเห็นว่าได้รับอิทธิพลหลักมาจากค่าพลักซ์ความร้อนจากการแพร่รังสีคลื่นสั้นของดวงอาทิตย์ (ภาพที่ 2) สอดคล้องกับการศึกษาของ Gautam (1999) พบว่าค่าการแพร่รังสีความร้อนรวมในอ่าวไทยคำนวณได้จากผลกระทบของความร้อนจากการแพร่รังสีคลื่นสั้นของดวงอาทิตย์ ความร้อนจากการแพร่รังสีลับของน้ำทะเล ความร้อนจากการเปลี่ยนสถานะของน้ำ และความร้อนจากการนำและการพา แต่ค่าการแพร่รังสีความร้อนจากการแพร่รังสีคลื่นสั้นของดวงอาทิตย์เป็นความร้อนที่มีอิทธิพลมากที่สุดต่อความร้อนรวม

แนวโน้มการแพร่กระจายพลักซ์ความร้อนรวมที่ผิวน้ำทะเล เชิงพื้นที่มีความสอดคล้องกับทิศทางลมมรสุม (ภาพที่ 3 และ 4) ซึ่งแสดงให้เห็นว่าการแพร่กระจายพลักซ์ความร้อนรวมที่ผิวน้ำทะเล จำกอิทธิพลของมรสุมตะวันออกเฉียงเหนือซึ่งทิศทางของลมมีการ

พัดจากทะเลเข้าไปเข้าสู่อ่าวไทยในช่วงเดือนพฤษภาคมถึงเดือนมีนาคมและรับอิทธิพลจากลมมรสุมตะวันตกเฉียงใต้ซึ่งมีทิศทางการพัดจากทิศตะวันตกไปสู่ทิศตะวันออกของอ่าวไทยในเดือนพฤษภาคมถึงเดือนกันยายน พลักซ์ความร้อนในทิศทางตันลมจะมีค่าสูงกว่า พลักซ์ความร้อนที่ทิศปลายลม เนื่องมาจากการทิศปลายลมมีการสูญเสียความร้อนมากกว่าทิศตันลมจากการได้รับแรงประทólโดยตรงเกิดการระบายไอน้ำได้ดี และระยะทางที่ลมสัมผัสผิวน้ำน้ำมากกว่าทิศตันลม แนวโน้มการแพร่กระจายพลักซ์ความร้อนรวมที่ผิวน้ำทะเลเชิงพื้นที่ได้รับอิทธิพลจากความร้อนจากการเปลี่ยนสถานะของน้ำมากกว่าความร้อนจากการนำและการพาความร้อน (ภาพที่ 5 และ 6) จากการศึกษาครั้งนี้พบว่าการสูญเสียความร้อนของน้ำทะเลจากการเปลี่ยนสถานะของน้ำมีประสิทธิภาพมากกว่าจากการนำและการพาความร้อน

(ก)



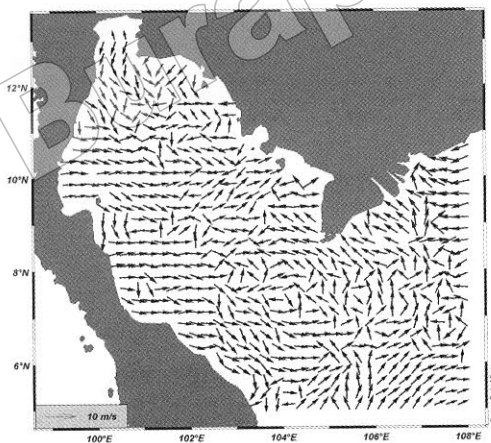
(ก)

(ข)

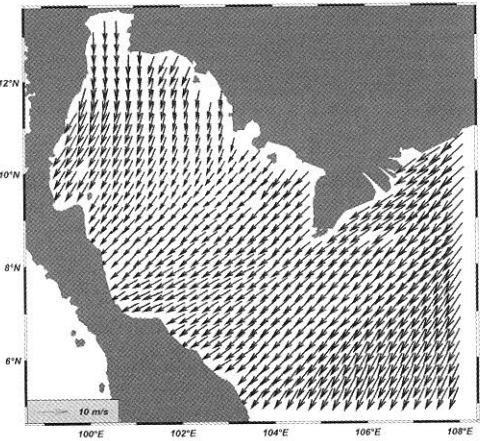


(ข)

(ค)



(ค)



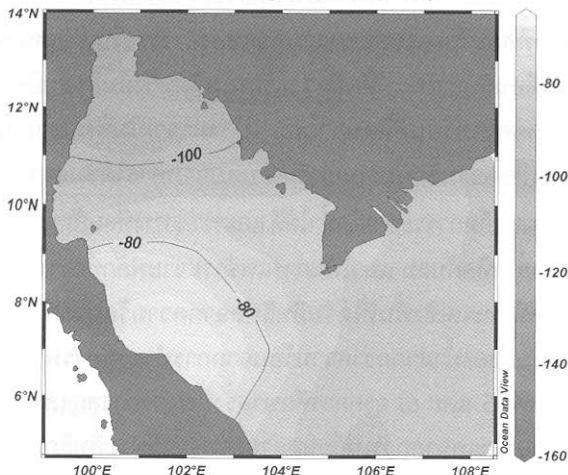
(ง)

ภาพที่ 4 ความเร็วและทิศทางของลมในเดือนเมษายน (ก) เดือนกรกฎาคม (ข) เดือนตุลาคม (ค) และเดือนธันวาคม (ง) ในปี พ.ศ. 2551

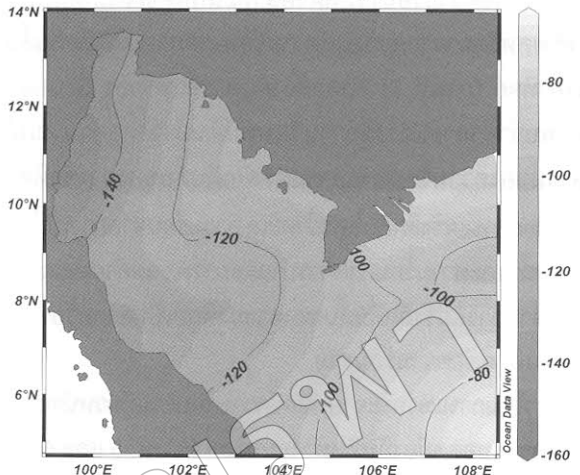
(ก)

(ก)

LHF_Heat_Jul @ Depth[m]=Top



LHF_Heat_Dec @ Depth[m]=Top

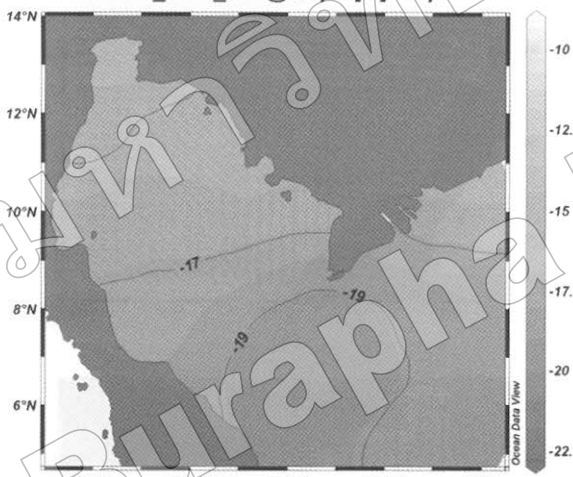


ภาพที่ 5 พลักซ์ความร้อนที่ผิวหน้าทะเลจากการเปลี่ยนสถานะของน้ำในช่วงเดือนกรกฎาคม (ก) และเดือนธันวาคม (ก) จากข้อมูลเฉลี่ยในช่วงปี พ.ศ. 2535-2543

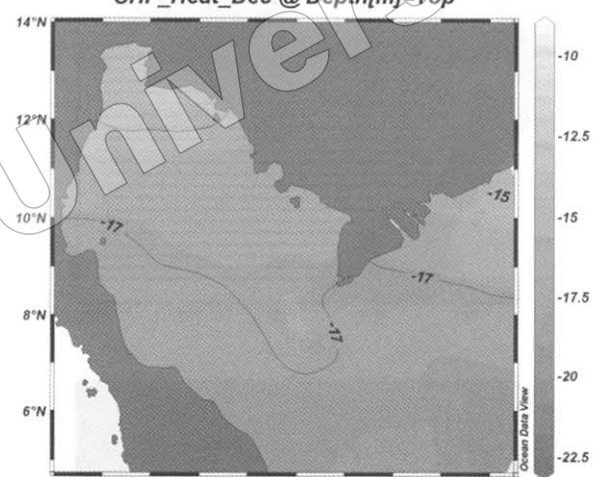
(ก)

(ก)

SHF_Heat_Jul @ Depth[m]=Top



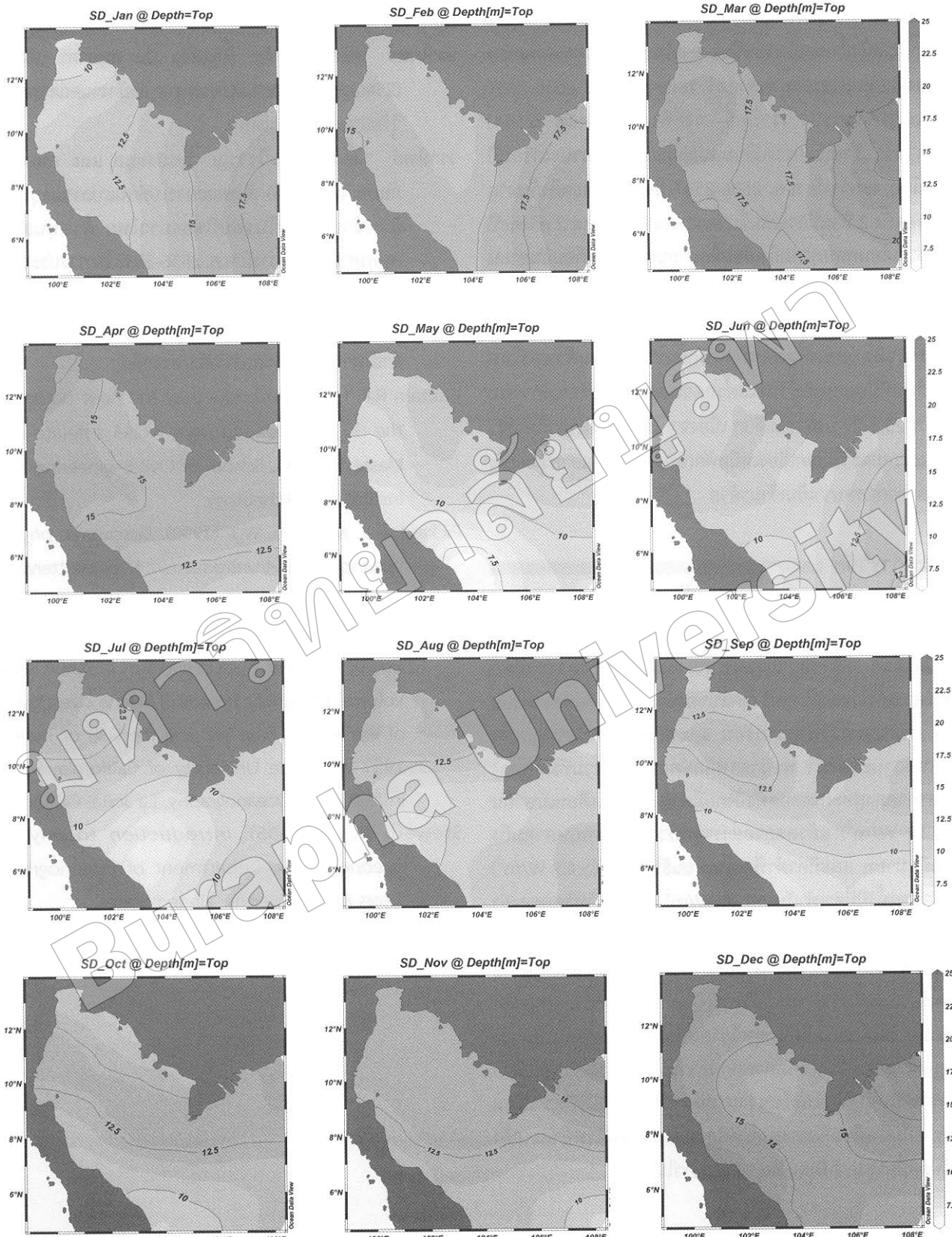
SHF_Heat_Dec @ Depth[m]=Top



ภาพที่ 6 พลักซ์ความร้อนที่ผิวหน้าทะเลจากการนำและการพาความร้อนของน้ำในช่วงเดือนกรกฎาคม (ก) และเดือนธันวาคม (ก) จากข้อมูลเฉลี่ยในช่วงปี พ.ศ. 2534-2538

ค่าเบี่ยงเบนมาตรฐานของข้อมูลพลักซ์ความร้อนรวมในแต่ละปีค่าสูงที่สุดในเดือนมีนาคมและต่ำที่สุดในเดือนพฤษภาคม เป็นค่าที่ได้มาจากการเฉลี่ยค่าเบี่ยงเบนมาตรฐานของพลักซ์ความร้อนทั้ง 4 ชนิด (ภาพที่ 7) ในช่วงเดือนมกราคมถึงเดือนมีนาคมในอ่าวไทยมีความแตกต่างกันของข้อมูลระหว่างปีน้อยกว่า บริเวณทะเลจีนใต้ แต่ในช่วงเดือนเมษายนถึงเดือนกันยายนกลับมี

แนวโน้มของการเปลี่ยนแปลงในทางกลับกัน ในเดือนตุลาคมถึงเดือนพฤษภาคมมีความแตกต่างกันของข้อมูลระหว่างในบริเวณกลางอ่าวมากกว่าบริเวณรอบอ่าวแต่ในเดือนธันวาคมกลับมีการเปลี่ยนแปลงในลักษณะที่ตรงกันข้าม ลักษณะการเปลี่ยนแปลงเหล่านี้อาจเป็นผลจากความผันแปรของลมมรสุมในแต่ละปีซึ่งเป็นเรื่องที่น่าศึกษาต่อไปในอนาคต



ภาพที่ 7 ค่าเบี่ยงเบนมาตรฐานของฟลักซ์ความร้อนรวมที่ผิวทะเลบริเวณอ่าวไทยในรอบปี

จากการศึกษาครั้งนี้สอดคล้องกับการศึกษาการเปลี่ยนแปลงอุณหภูมิผิวน้ำทะเลในรอบปีของอ่าวไทยจากการตรวจด้วยต่อไปนี้ ที่รายงานว่า ลักษณะการเปลี่ยนแปลงอุณหภูมิผิวน้ำทะเลรอบปีในอ่าวไทย ระหว่างปี พ.ศ. 2536-2537 มีความคล้ายคลึงกันมาก โดยตลอดทั้ง 2 ปีจะมีการเพิ่มขึ้นของอุณหภูมิจันท์สุด 2 ครั้งต่อปี คือในช่วงเดือนพฤษภาคมถึงเดือนมิถุนายน และช่วงเดือนกันยายนถึงเดือนตุลาคม ระหว่าง 30.5-32 และ 29.5-31.5 องศาเซลเซียส ตามลำดับ เนื่องจากเป็นระยะเวลาที่บริเวณประเทศไทย หันตัวจากกับดวงอาทิตย์มากที่สุดตามลักษณะการเคลื่อนตัวของโลก ส่วนเดือนที่มีอุณหภูมน้ำทะเลต่ำสุดจะอยู่ในช่วงเดือน มกราคม ระหว่าง 25.5-29 องศาเซลเซียส เนื่องจากในระหว่างเวลาดังกล่าว จะมีลมมรสุมตะวันออกเฉียงเหนือพัดเข้ามาซึ่งจะนำความแห้งแล้งและอากาศหนาวเย็นเข้ามาด้วย

สรุปผลการวิจัย

จากการศึกษาฟลักซ์ความร้อนที่ผิวน้ำทะเลบริเวณอ่าวไทย ในรอบปีโดยใช้ข้อมูลเฉลี่ยรายเดือนของปัจจุบันฟลักซ์ความร้อน 4 ชนิดได้แก่ ฟลักซ์ความร้อนจากการแพร่งสีของดวงอาทิตย์ ฟลักซ์ความร้อนจากการแพร่งสีกลับของน้ำทะเล ฟลักซ์ความร้อนจากการนำและการพัฒนาการร้อน แล้วฟลักซ์ความร้อนจากการเปลี่ยนสถานะของน้ำ พบร่วมค่าฟลักซ์ความร้อนรวมที่มีทิศทางจากอากาศลงสู่ทะเลตลอดทั้งปีโดยมีค่าสูงที่สุดในเดือนเมษายน (110.89 W/m^2) แล้วลดลงอย่างรวดเร็วในเดือนพฤษภาคมถึง (5.43 W/m^2) เฉลี่ยตลอดทั้งปีมีค่าเท่ากับ 60.28 W/m^2 เนื่องจากอิทธิพลของค่าฟลักซ์ความร้อนจากการแพร่งสีจากดวงอาทิตย์ และความร้อนจากการเปลี่ยนสถานะของน้ำ การแพร่กระจายเชิงพื้นที่ของฟลักซ์ความร้อนรวมที่ผิวน้ำทะเลมีแนวโน้มสอดคล้องกับอิทธิพลจากลมมรสุม โดยในช่วงเดือนพฤษภาคมถึงเดือนมีนาคมซึ่งเป็นช่วงมรสุมตะวันออกเฉียงเหนือค่าฟลักซ์ความร้อนบริเวณอ่าวไทยมีค่าต่ำกว่าทะเลเงินใต้ และในช่วงมรสุมตะวันตกเฉียงใต้ช่วงเดือนพฤษภาคมถึงเดือนกันยายนค่าฟลักซ์ความร้อนที่ผิวน้ำทะเลเพิ่งตัววันต่อมาค่าสูงกว่าผ่านตัววันออกของอ่าวไทย

เอกสารอ้างอิง

- ปราโมทย์ ศุจิคุกร ศุภชัย ตั้งใจตรง และ สมมาตร เนียมนิล (2546) สารวิทยาศาสตร์ทางทะเล, สำนักงานคณะกรรมการวิจัยแห่งชาติ. กรุงเทพฯ.
- ราธิพย์ วงศ์พินทร, ระวีวรรณ นุชประมูล และ กนกวรรณ กันทะกิติ (2544) ลักษณะการเปลี่ยนแปลงของอุณหภูมิผิวน้ำทะเลในรอบปีของอ่าวไทย ด้วยทุ่นสำรวจสมุทรศาสตร์ระหว่างปี พ.ศ. 2536-2537. ในการประชุมทางวิชาการของมหาวิทยาลัยเกษตรศาสตร์ ครั้งที่ 39 (หน้า 307-314) ศูนย์พัฒนาเทคโนโลยีข้อมูลทางสมุทรศาสตร์ สำนักงานคณะกรรมการวิจัยแห่งชาติ.
- Gautam R.K. (1999) *An analysis of the heat balance in the Gulf of Thailand using NOAA satellite data.* Master's thesis, School of Civil Engineering, Asian Institute of Technology.
- Pickard, G.L. & Emery, W.J. (1990). *Descriptive physical oceanography: An introduction*, 5th ed., Butterworth-Heinemann, England.
- Robinson, M. K. (1974). *The physical oceanography of the Gulf of Thailand, Naga Expedition.* In: NAGA Report Volume 3: Scientific Results of Marine Investigations of the South China Sea and the Gulf of Thailand 1959-1961. The University of California, Scripps Institution of Oceanography, La Jolla, California.
- Stewart, R. H. (2005). *Introduction to physical oceanography.* Department of Oceanography, Texas A&M University, United States.